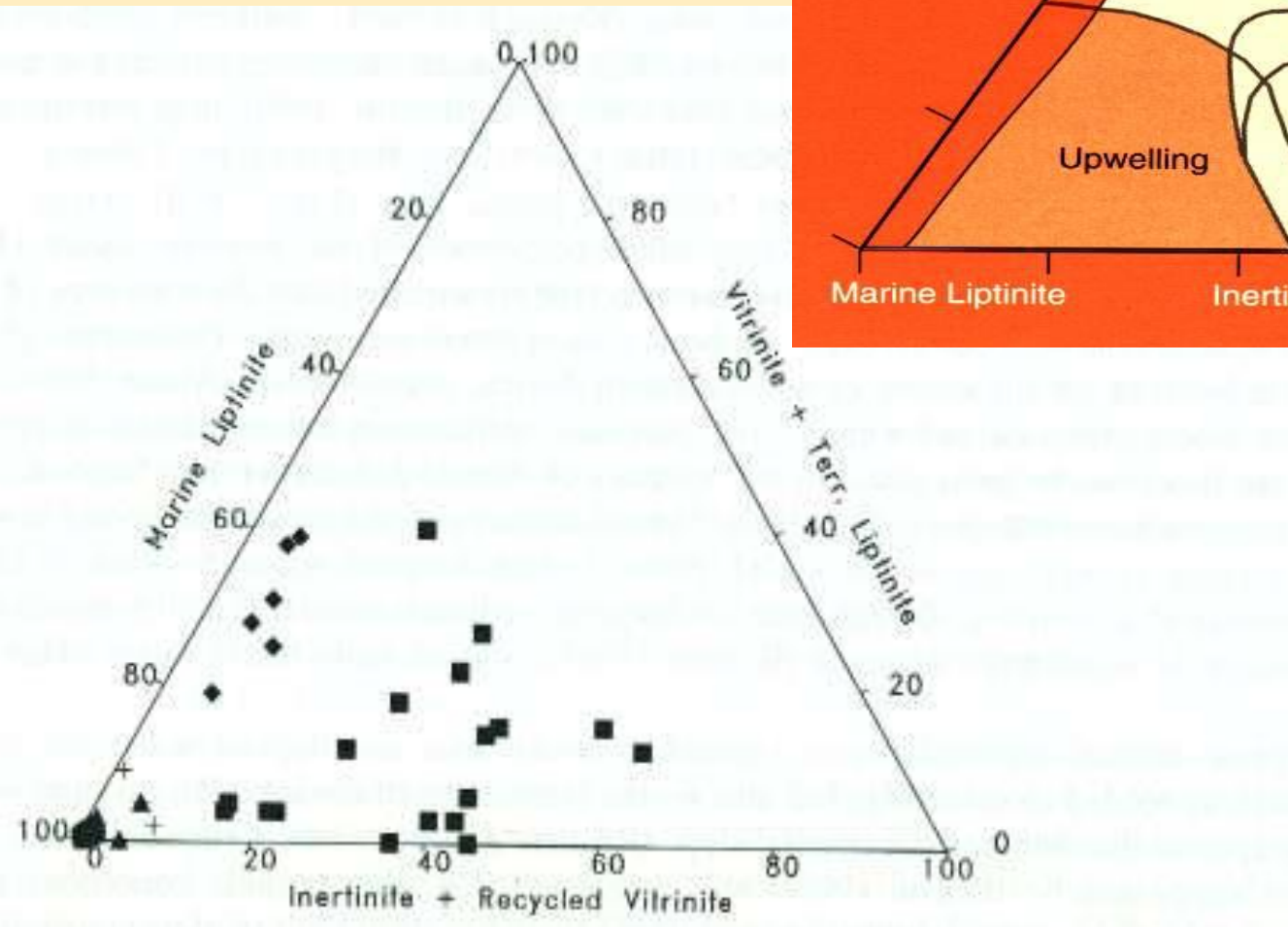
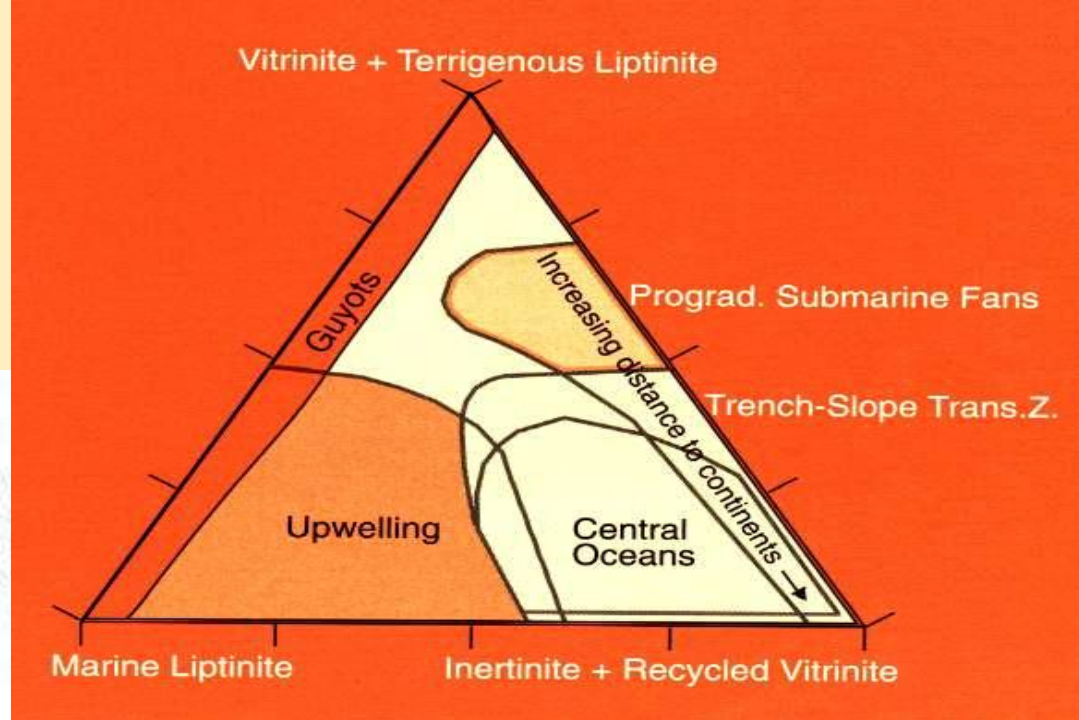


Aplicaciones

DECLARACION - DISCLAIMER

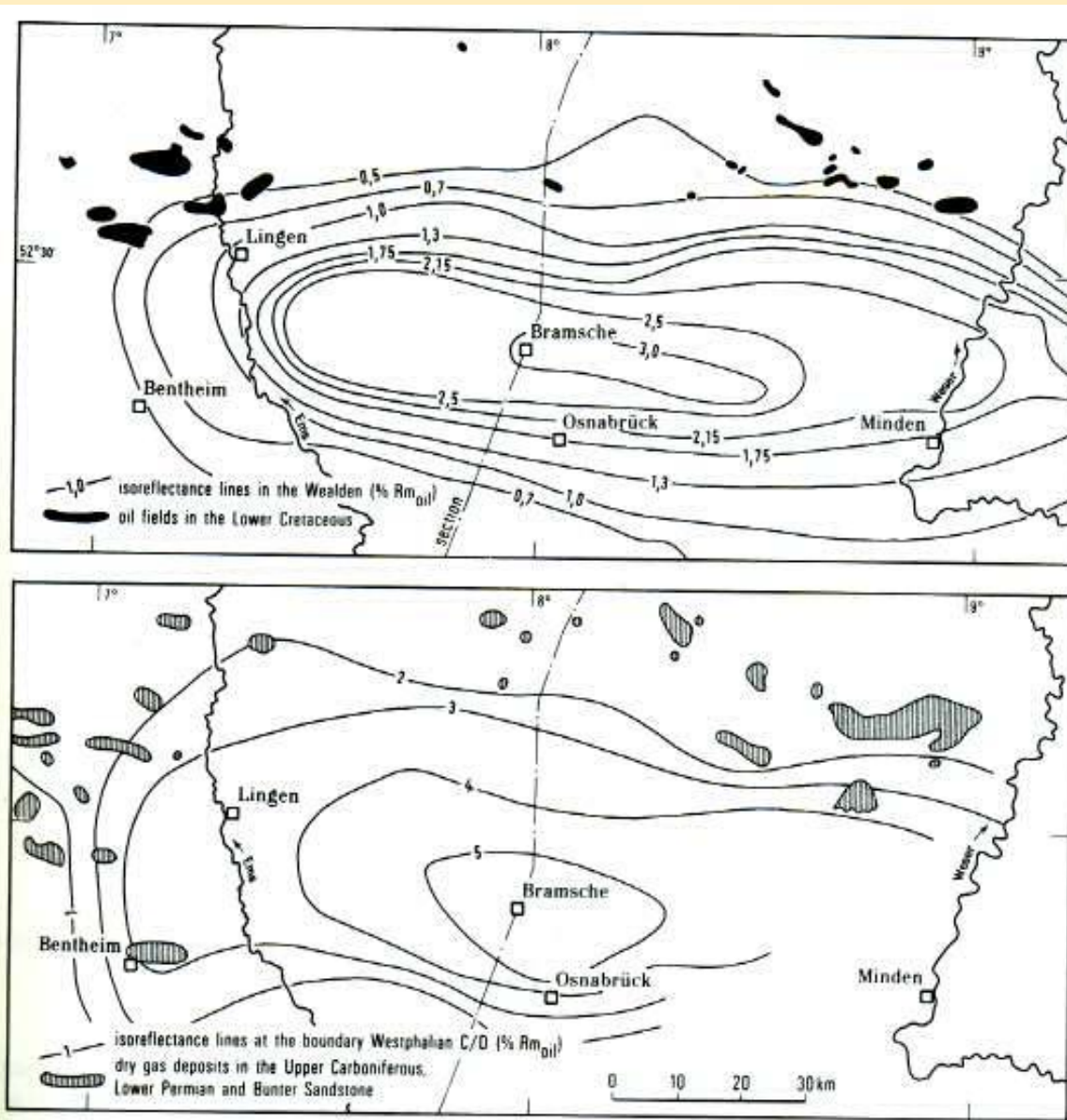
Los presentadores han utilizado numerosas ilustraciones propias, tomadas de internet y publicaciones de diferentes autores, con el único objetivo de apoyar la presentación. Estos recursos se utilizan sin menoscabo de los derechos de autor (autores) debidamente referenciados y serán utilizados estrictamente para fines académicos y de divulgación del conocimiento, sin que los presentadores reciba retribución económica alguna.

The presenters have used numerous illustrations of her own, taken from the internet and publications by various authors, for the sole purpose of supporting the presentation. These resources are used without prejudice to the copyrights of the authors, duly referenced, and will be used strictly for academic and knowledge dissemination purposes, without the presenters receiving any financial compensation.



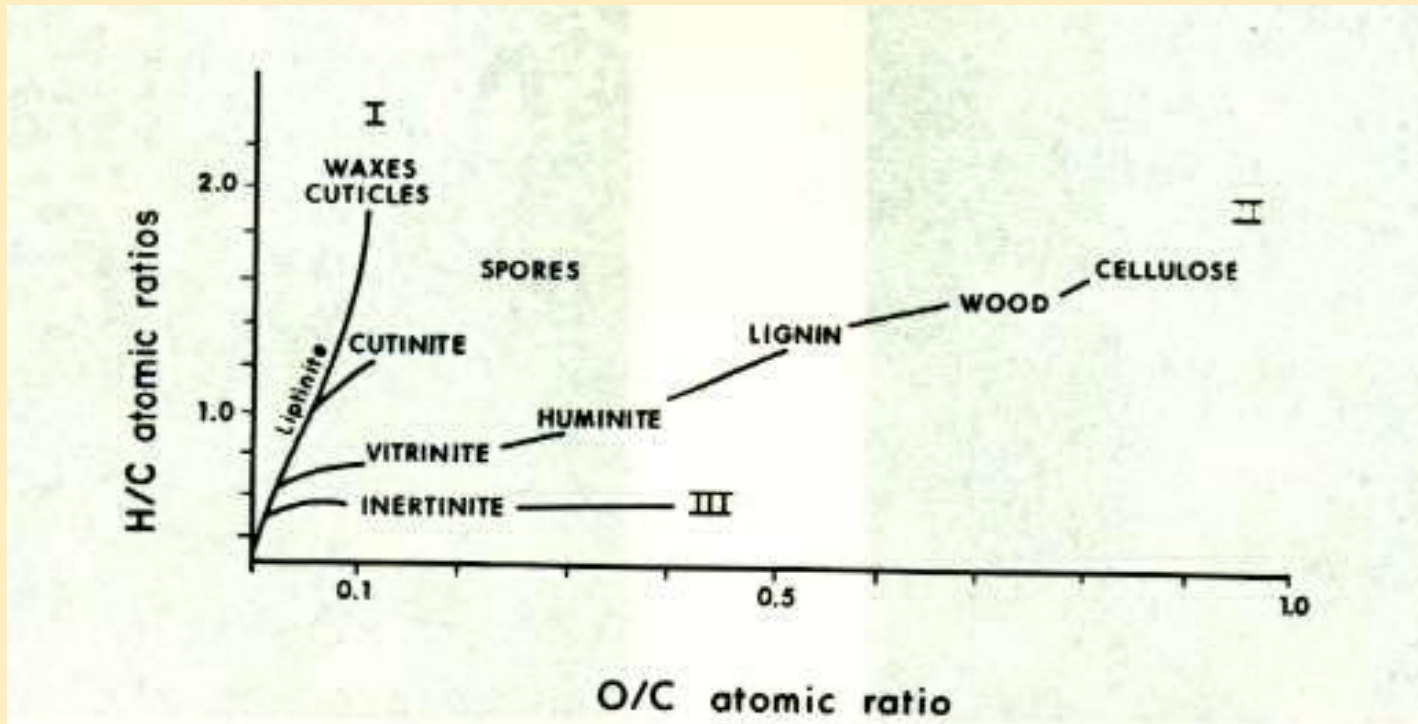
- ▲ OMAN, SITE 723
- PERU, SITE 681
- NW AFRICA, SITE 658
- ◆ WALVIS RIDGE SITE 532
- + CAL. CONT. MAR. SITE 467

DISTRIBUCION DE MACERALES



MAPAS DE ISOREFLECTANCIA

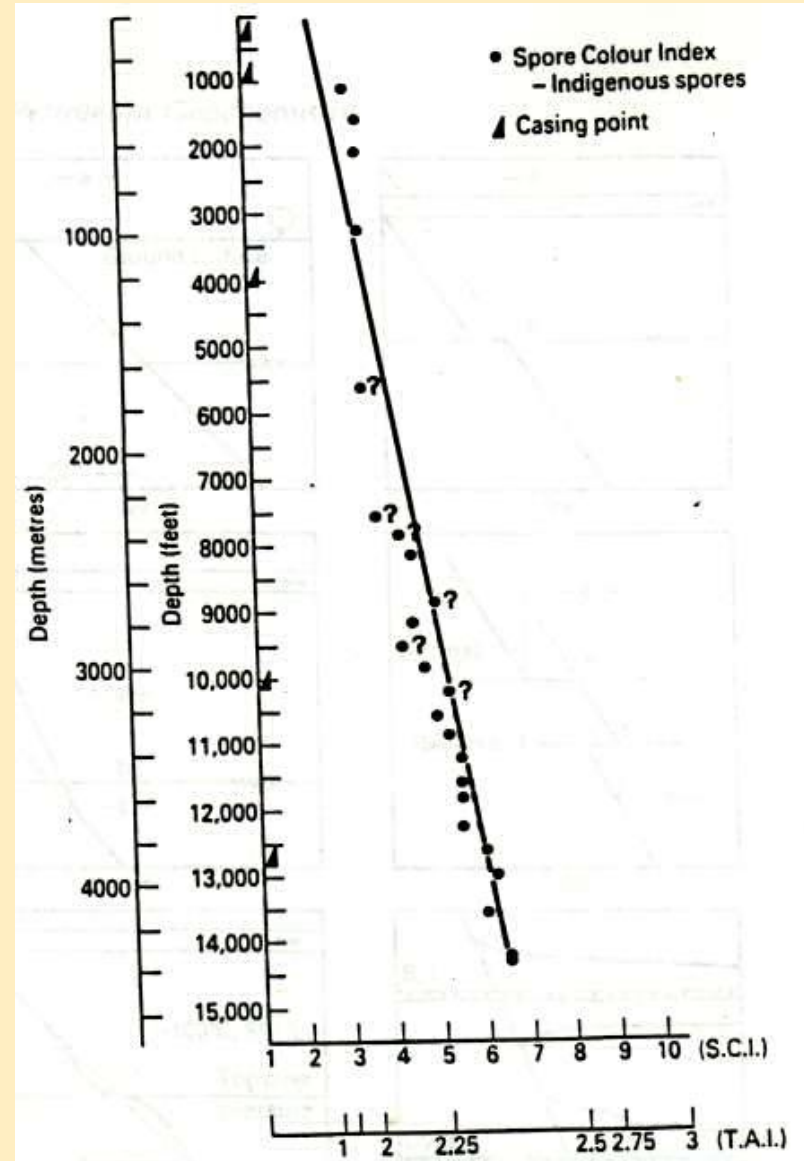
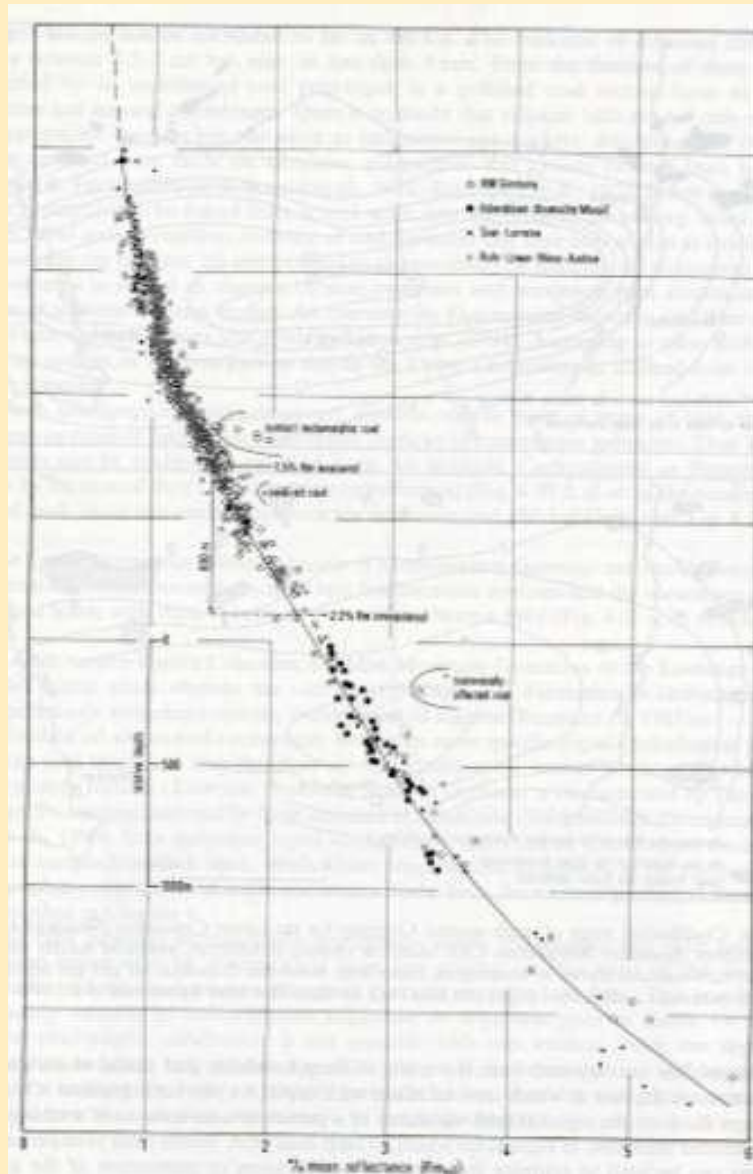
GENERACION DE HIDROCARBUROS



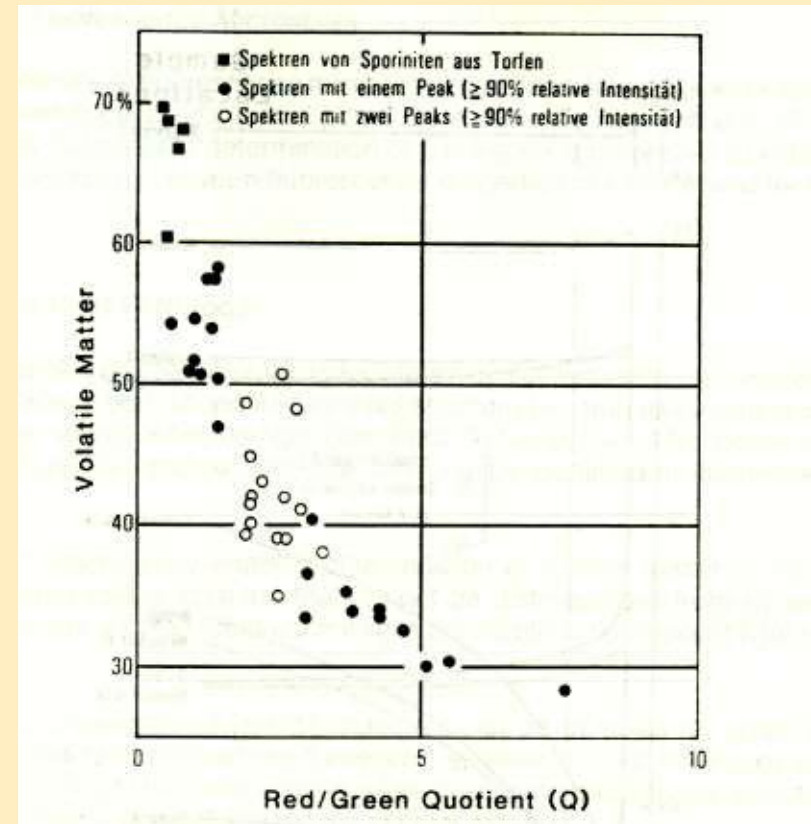
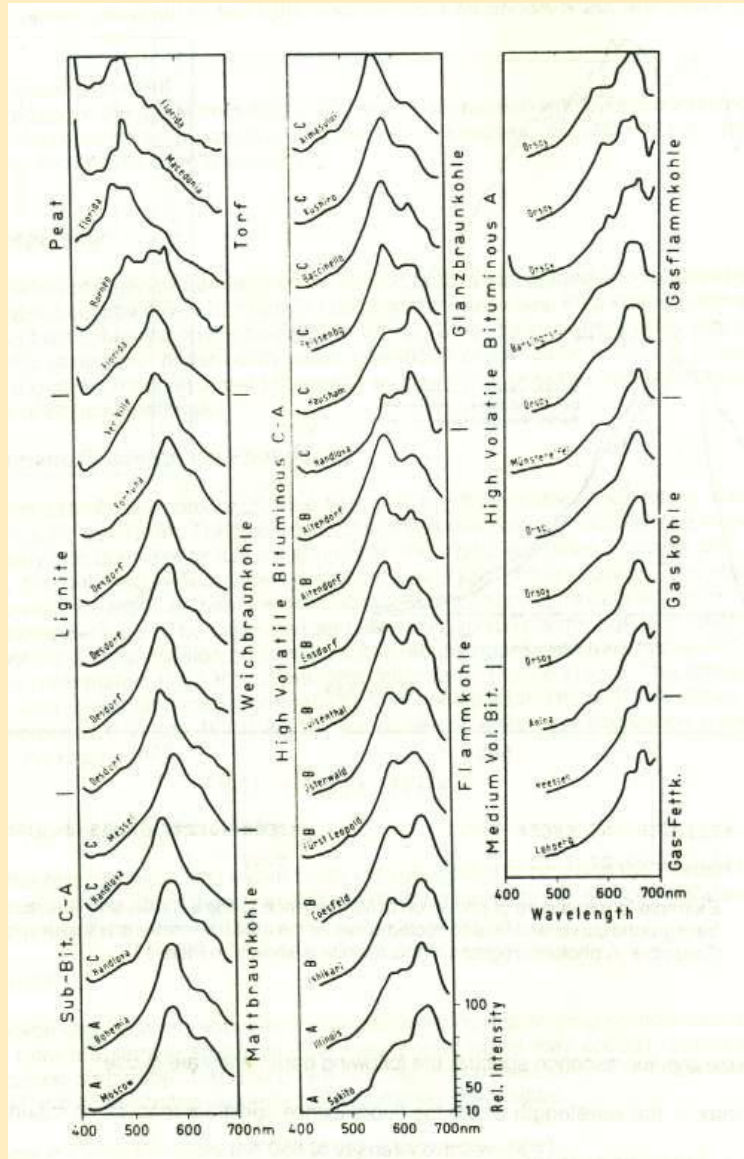
MADURACION

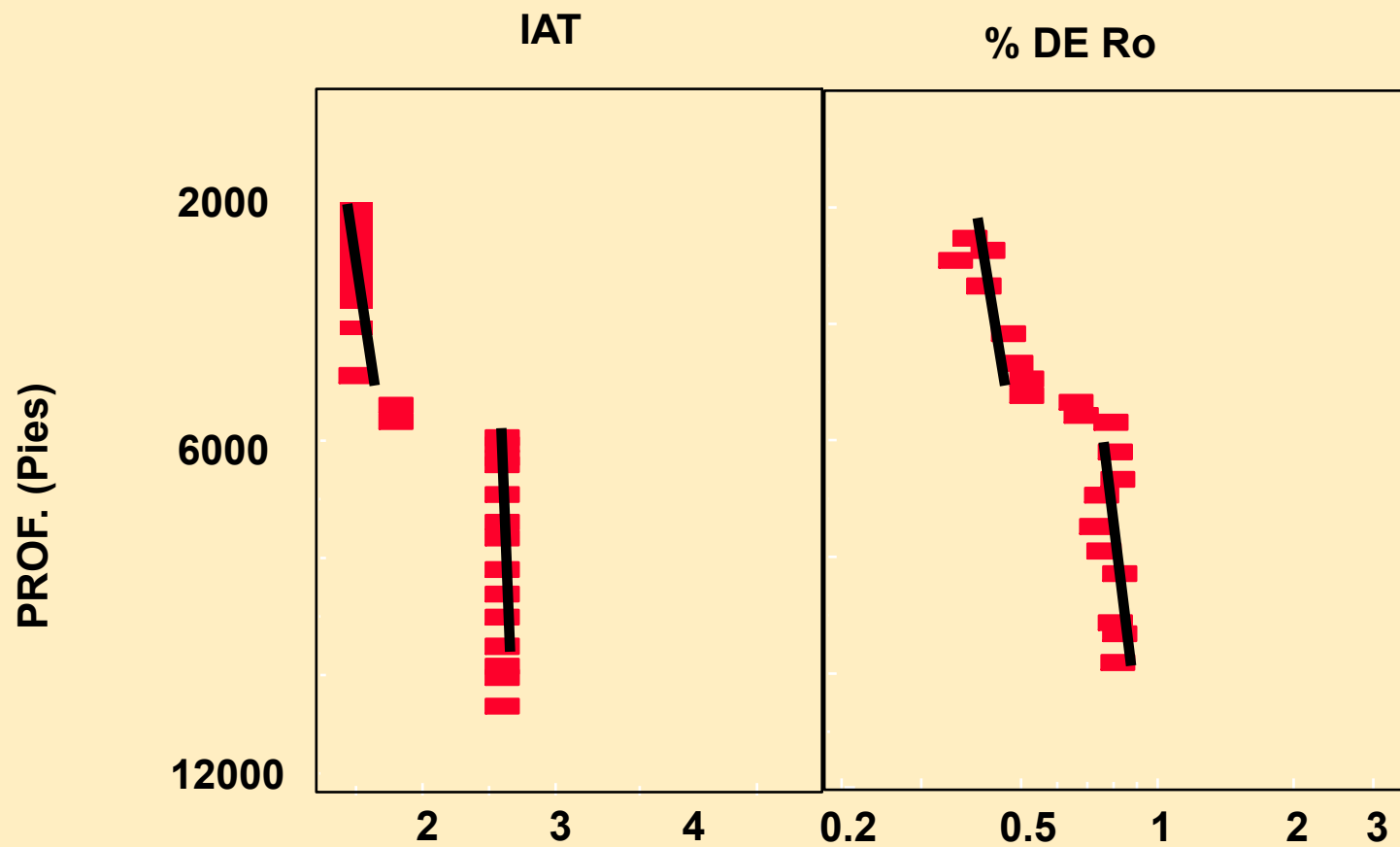
TEYLOR ET AL (1998)

COOPER ()



MADURACION





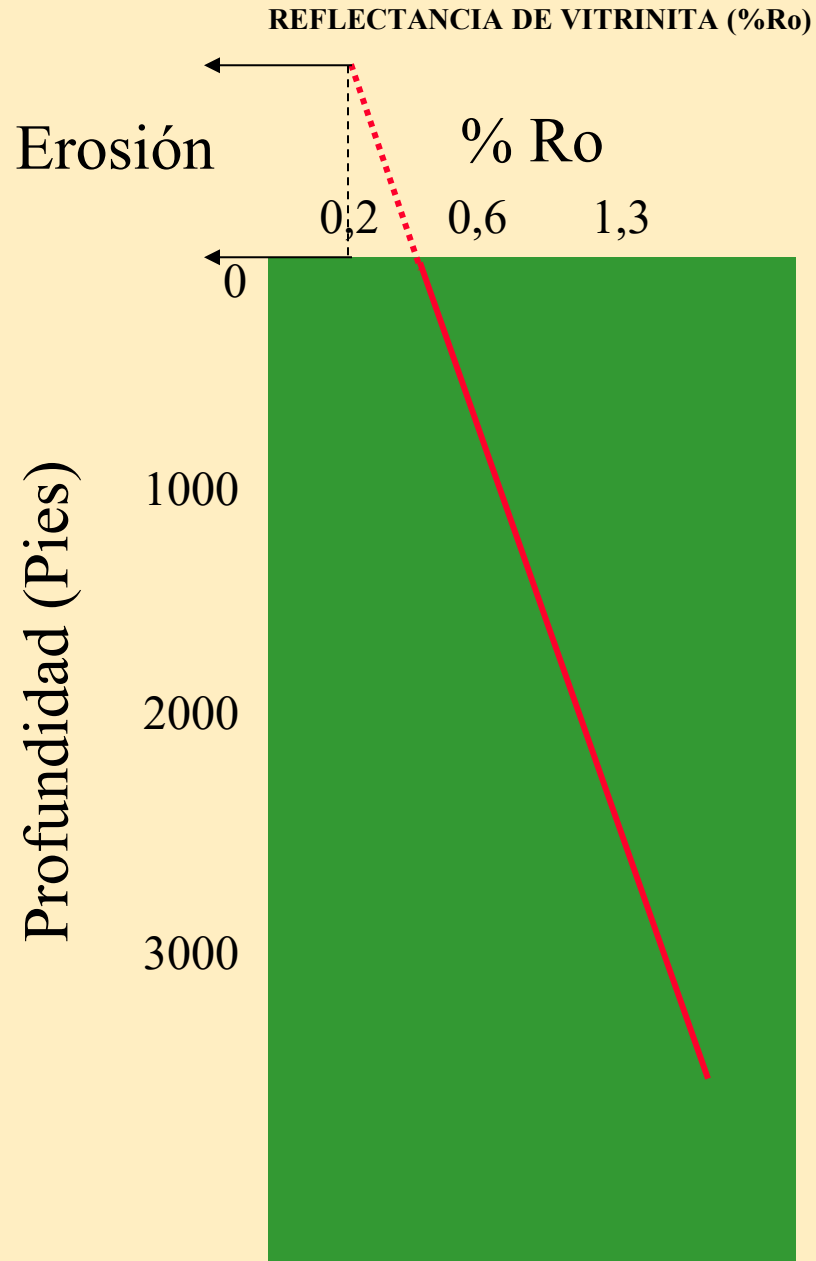
ZONA DE MADUREZ	ZONA DE GENERACION DE HIDROCARBUROS	REFLECTANCIA DE VITRINITA (%Ro)	INDICE DE COLORACION DE ESPORAS (RGL-10)	INDICE DE ALTERACION TERMAL (IAT)			ROCK-EVAL TMAX (°C) (BERNARD ET AL 1981)			LOM	ESPORAS EN LUZ AMORFO SAP.	RANGO DEL CARBON
				STAPLIN	EXLOG	BATTEN	TIPO I	TIPO II	TIPO III			
INMADURA	UNICAMENTE GAS BIOGENICO	0.2	1	1	1	1				1		TURBA
			2	1.5		1/2				2		
		0.3	3	2	1.5	2	400			3		
MADUREZ TEMPRANA	ZONA DE TRANSICION, GAS HUMEDO E INCREMENTO DE BITUMEN SOLUBLE ALGUNOS CARBONATOS PUEDEN GENERAR CRUDO PESADOS CON MUCHO LE	0.4	4			2/3		430		4		LIGNITO
		0.5	5			3/4				5		
MADUREZ MEDIA	CRUDO CON GRAVEDAD MEDIANA (35°-42° API) MIGRACION	0.6	6	2.5	2	4	410			6		SUB-BITUMINOSO
		0.7	7			4/5		440		7		
		0.8	8		2.5	5	430			8		
MADUREZ TARDIA	CRUDO LIVIANO 42 API CON TRANSICION A CONDENSADO Y GAS SECO	0.9	9			5/6	440			9		BITUMINOSO DE ALTOS VOLATILES
		1.0	10	3		6	450	450		10		
		1.3	11						460	11		
POST MADURO	FASE DE GAS HUMEDO A GAS SECO		8.5	3						12		NADA
			9		3.5	6/7				13		
		2.0		3.5						14		
			9.5	4	4					15		
		3.0	10	5		7				16		
										17		
												NADA
												SUB-ANTRACITA
												ANTRACITA

MODIFICADA DE ROBERTSON

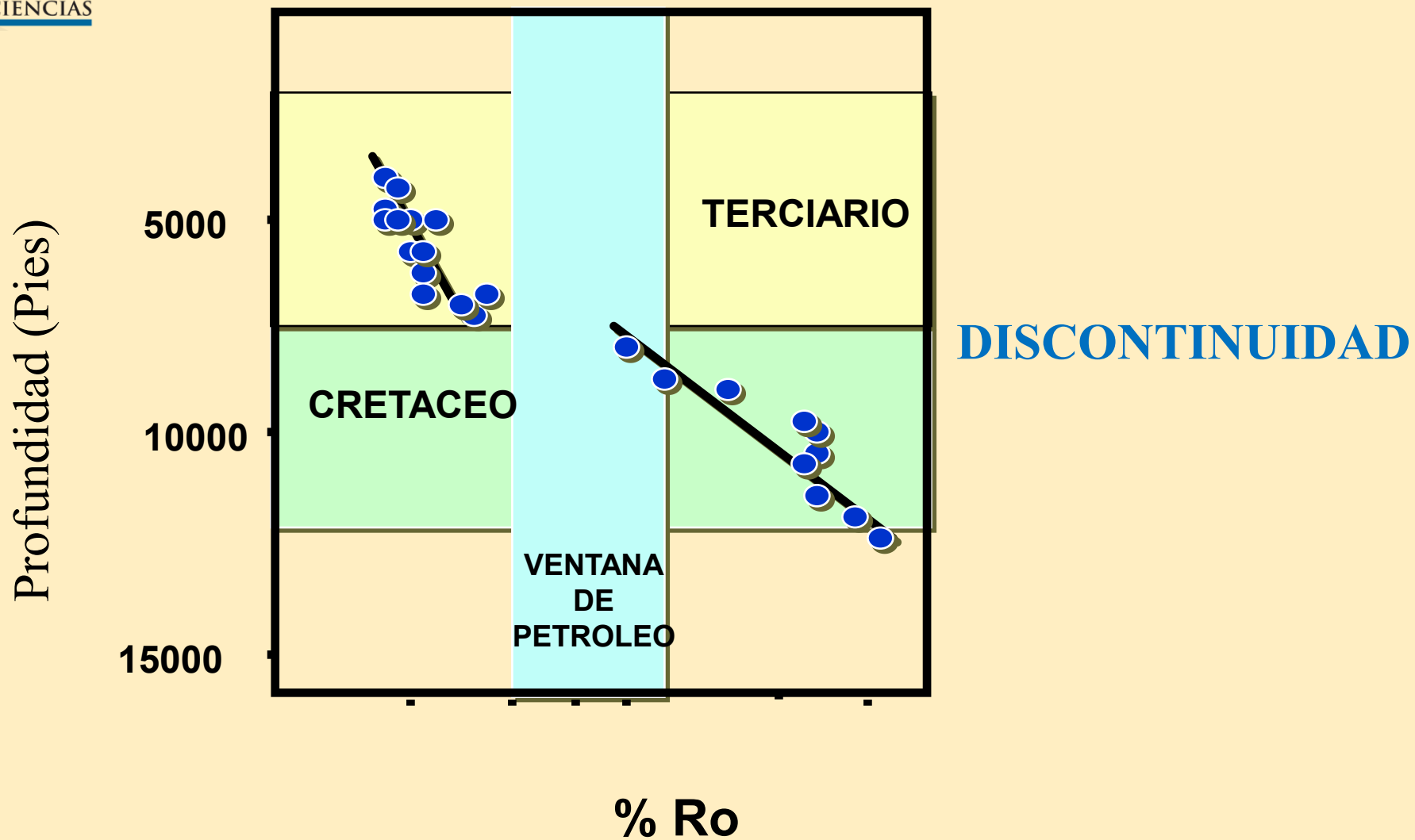
ESTA CORRELACION ESTA BASADA EN EL MAR DEL NORTE

EVENTOS

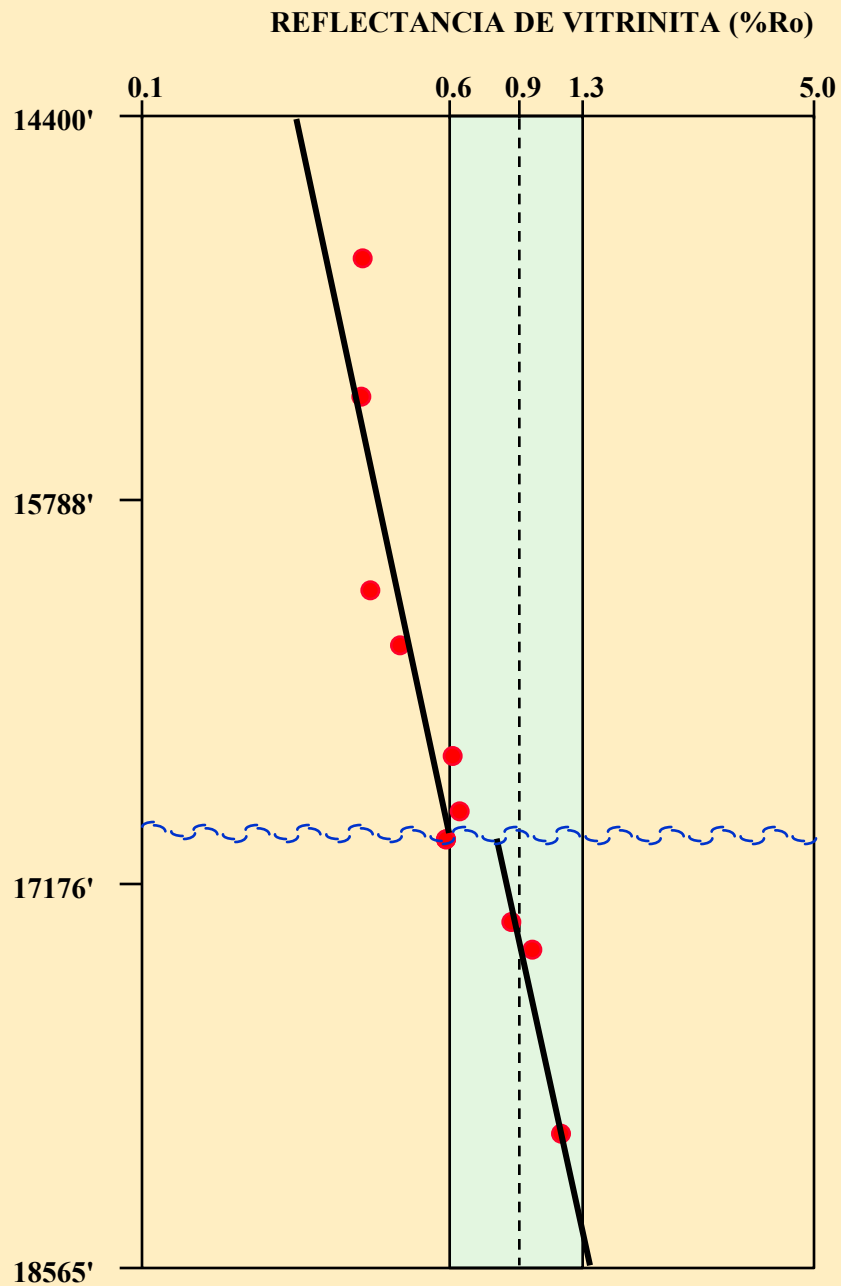
- DISCONTINUIDADES
- LEVANTAMIENTO CON EROSION
- FALLAS
- CAMBIOS DE GRADIENTES
- SOBREPRESIONES
- INTRUSIONES IGNEAS



LEVANTAMIENTO Y EROSION

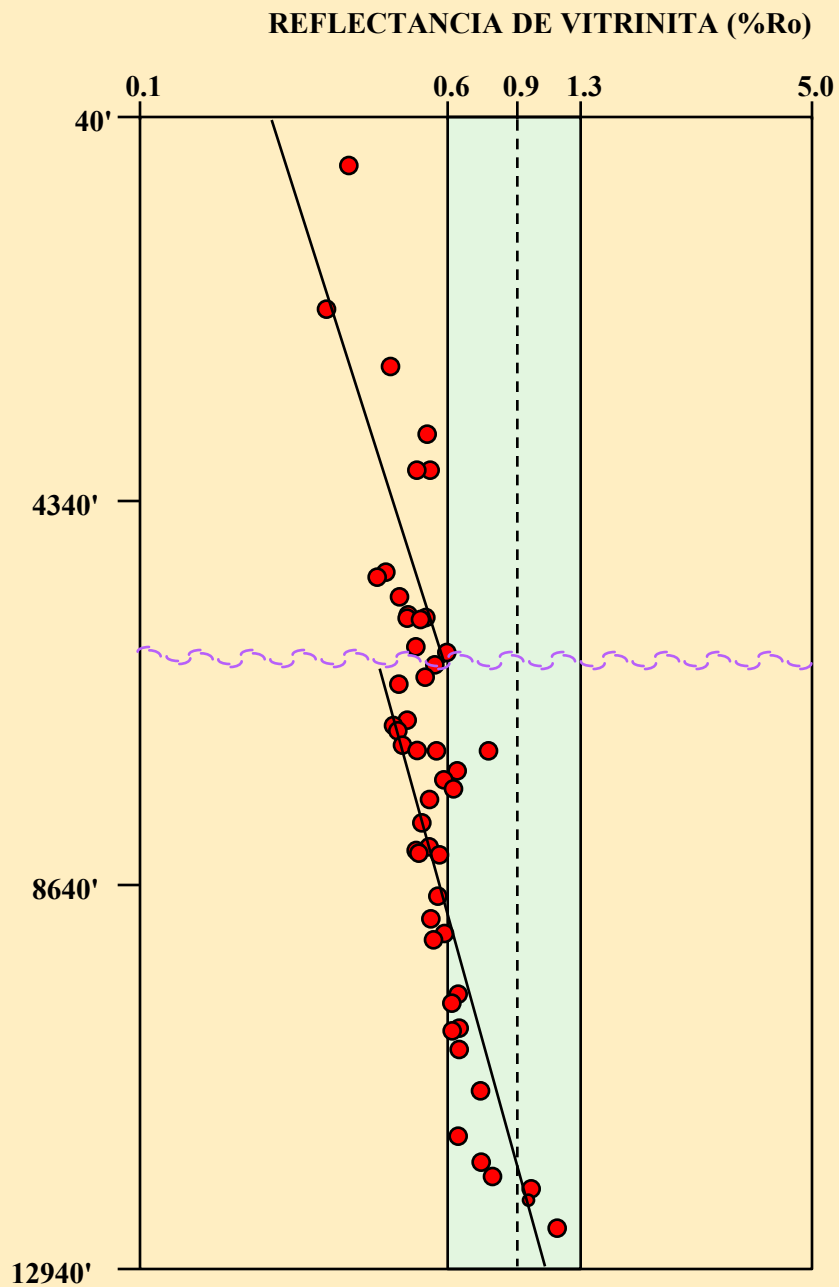


P
R
O
F
U
N
D
I
D
A
D



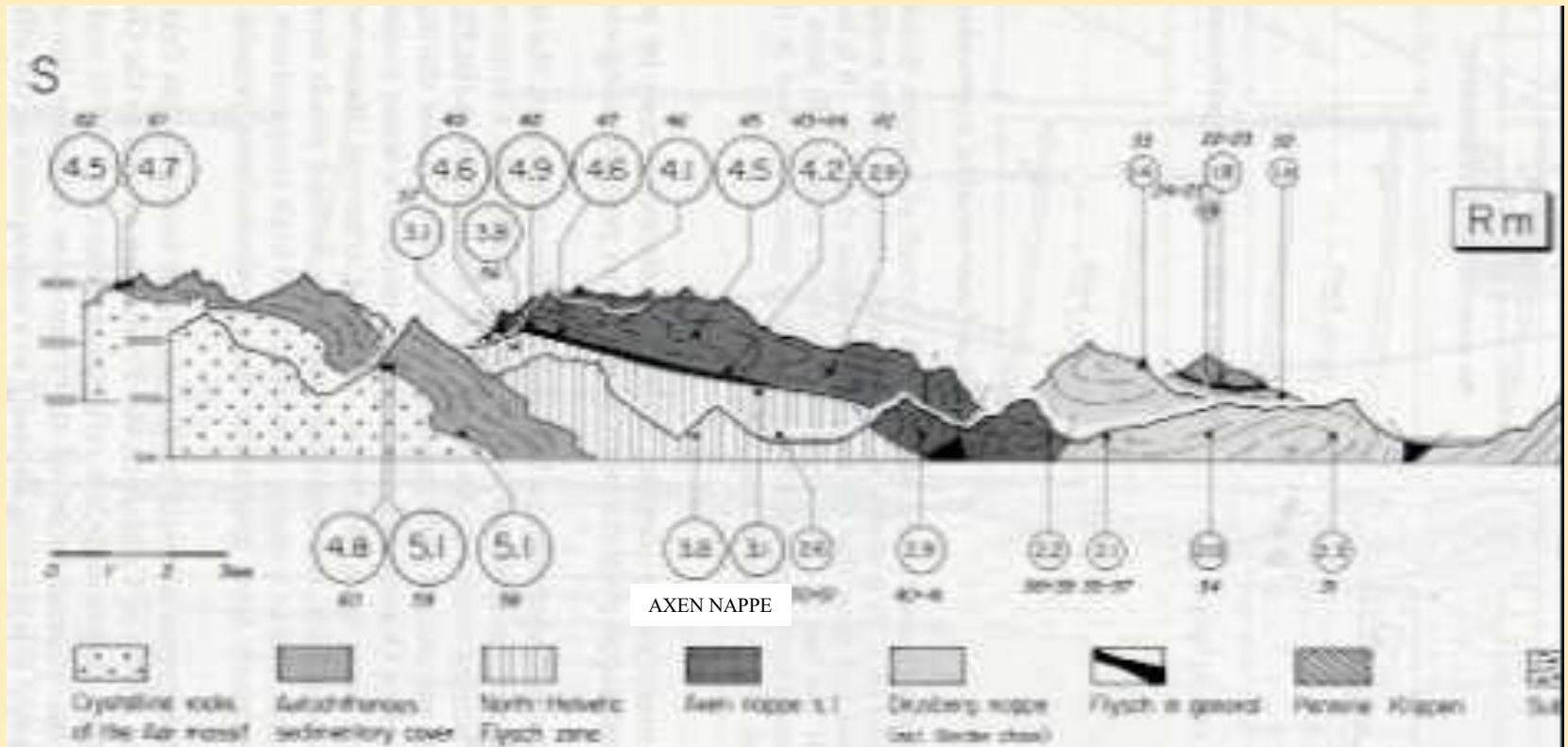
FALLA NORMAL

P
R
O
F
U
N
D
I
D
A
D



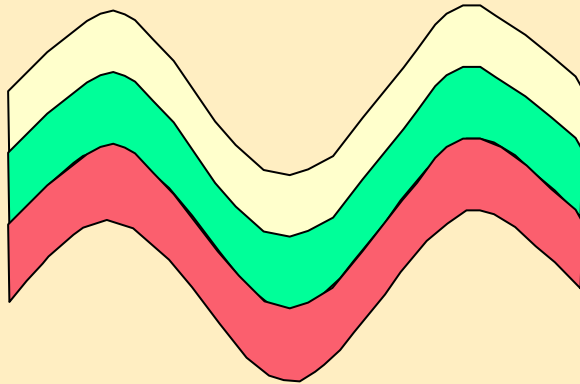
FALLA INVERSA

SOBRECABALGAMIENTO

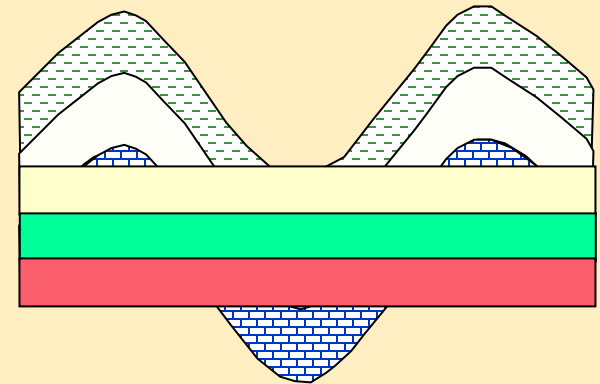


FREY ET AL., 1980

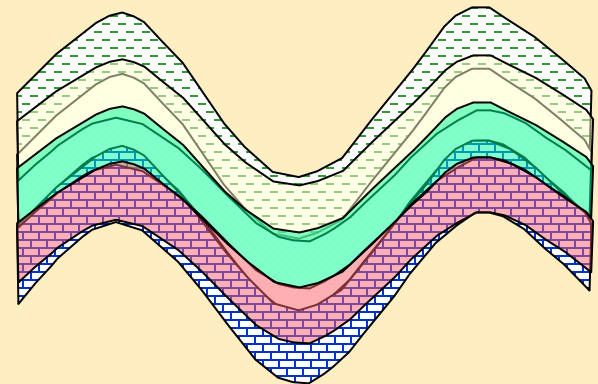
MADURACION ANTES DEL FALLAMIENTO



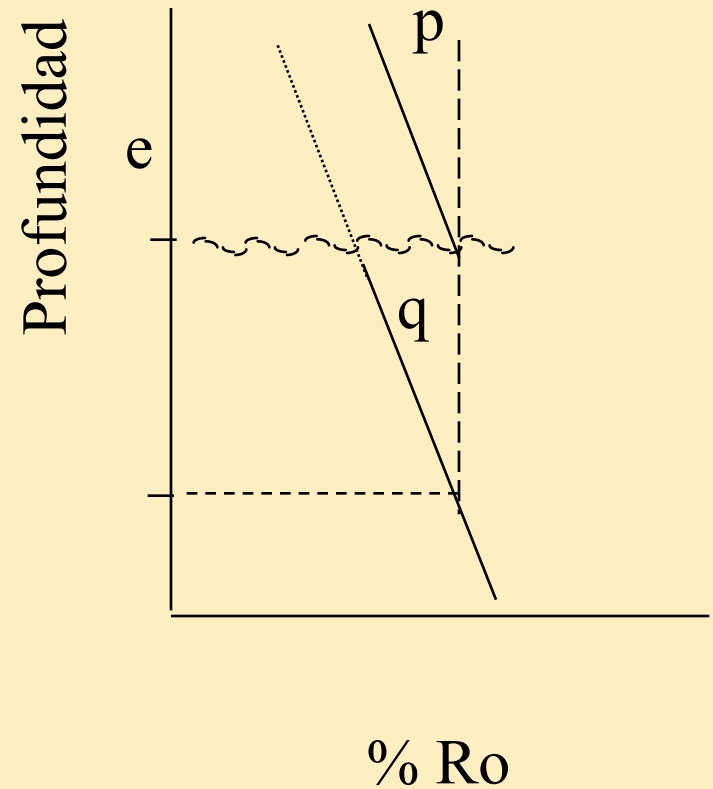
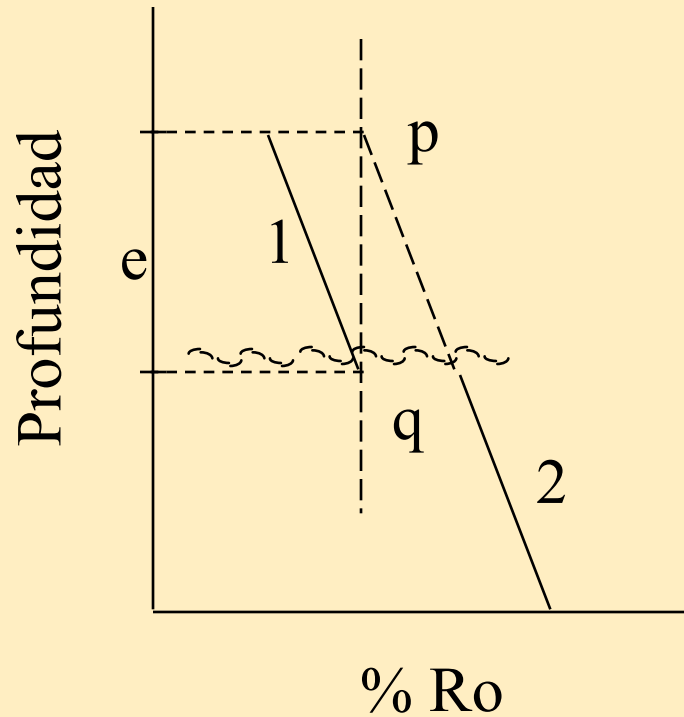
MADURACION POSTERIOR AL FALLAMIENTO



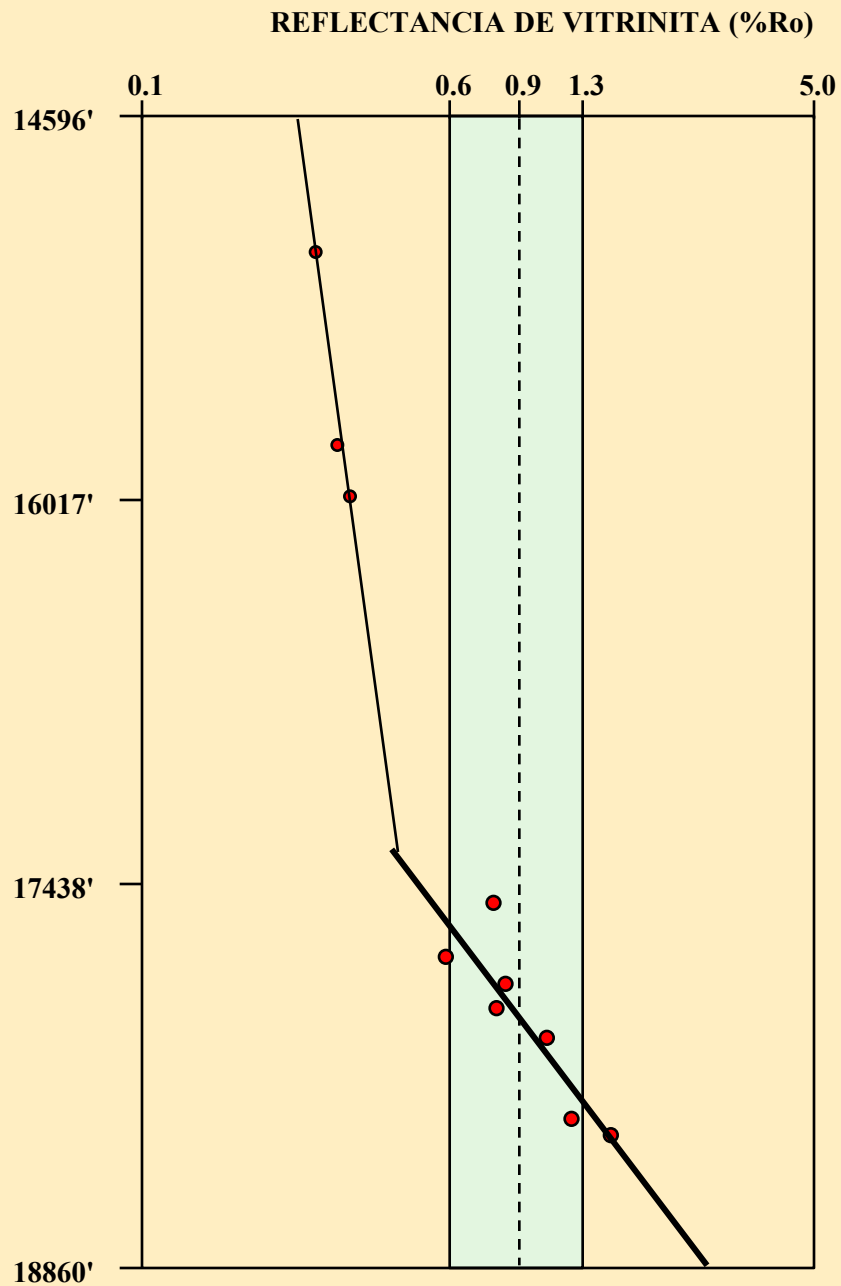
MADURACION PRE Y POS FALLAMIENTO



CALCULO DE EROSION Y DE REPETICION



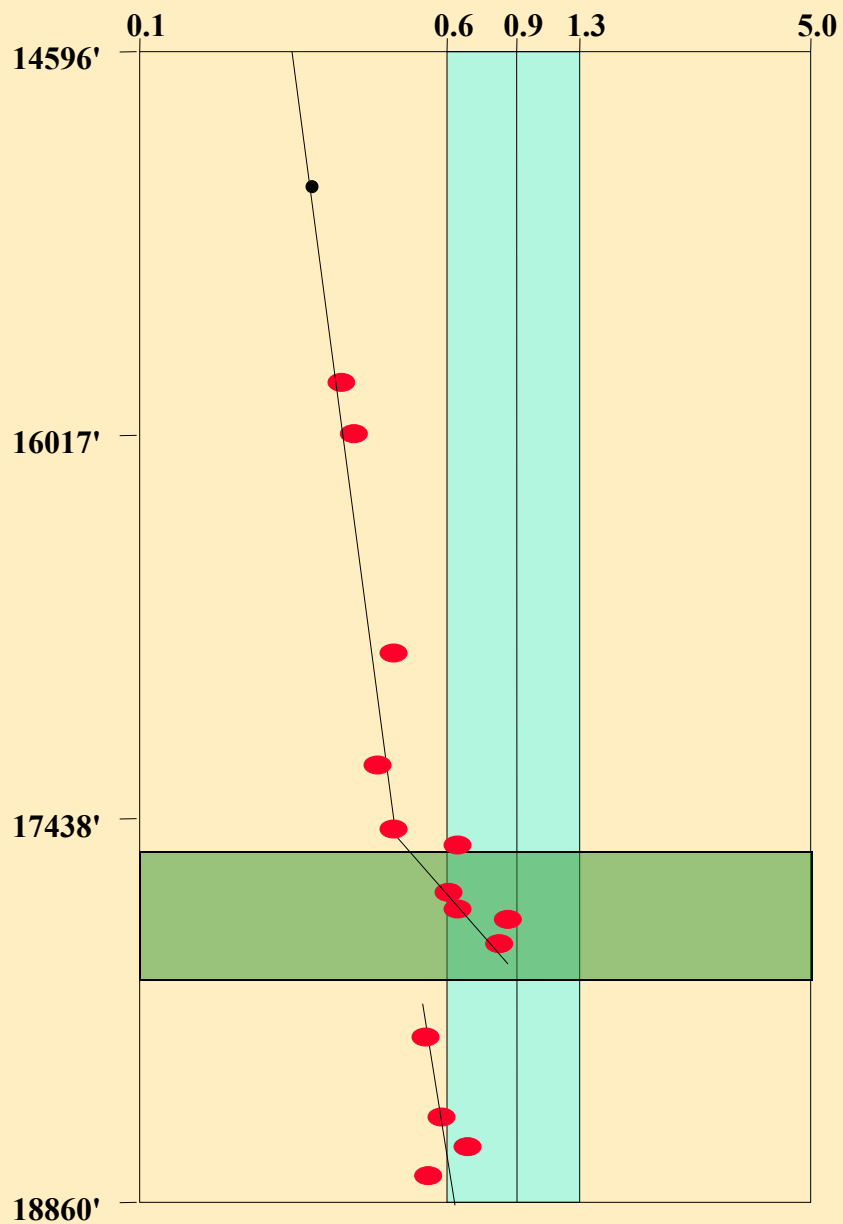
P
R
O
F
U
N
D
I
D
A
D



CAMBIO DE
GRADIENTE

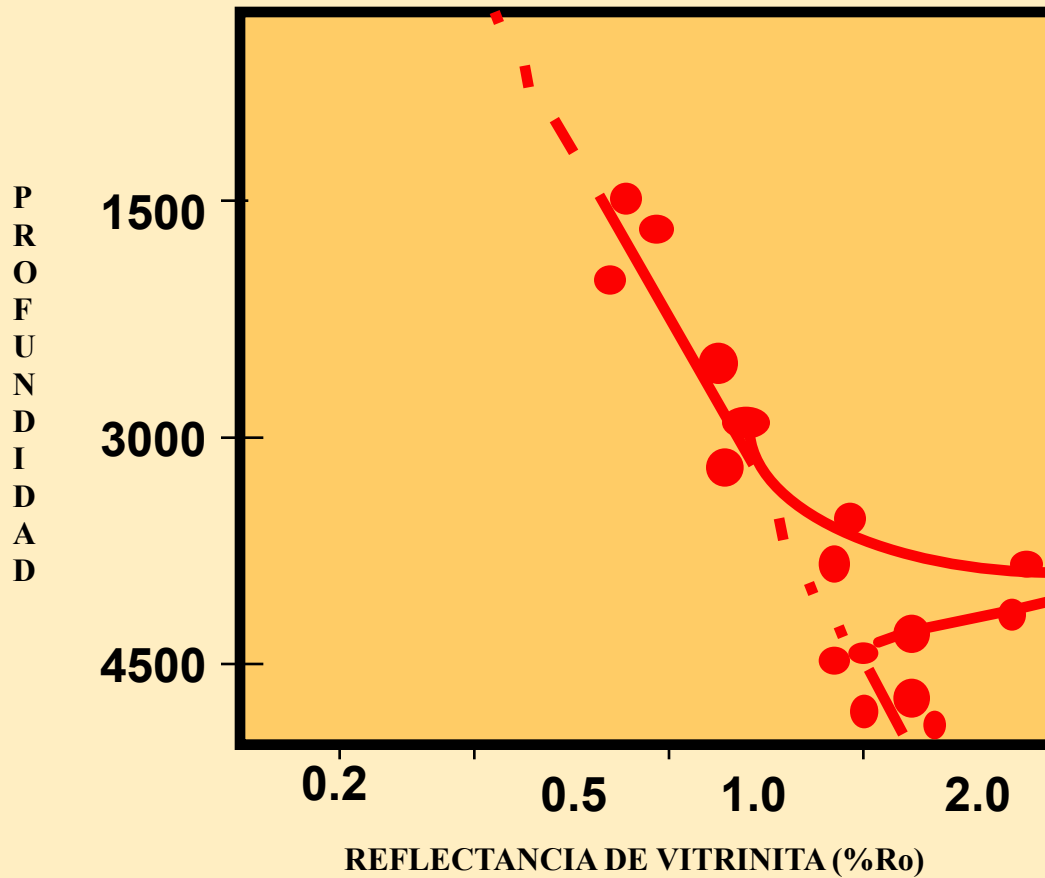
P
R
O
F
U
N
D
I
D
A
D

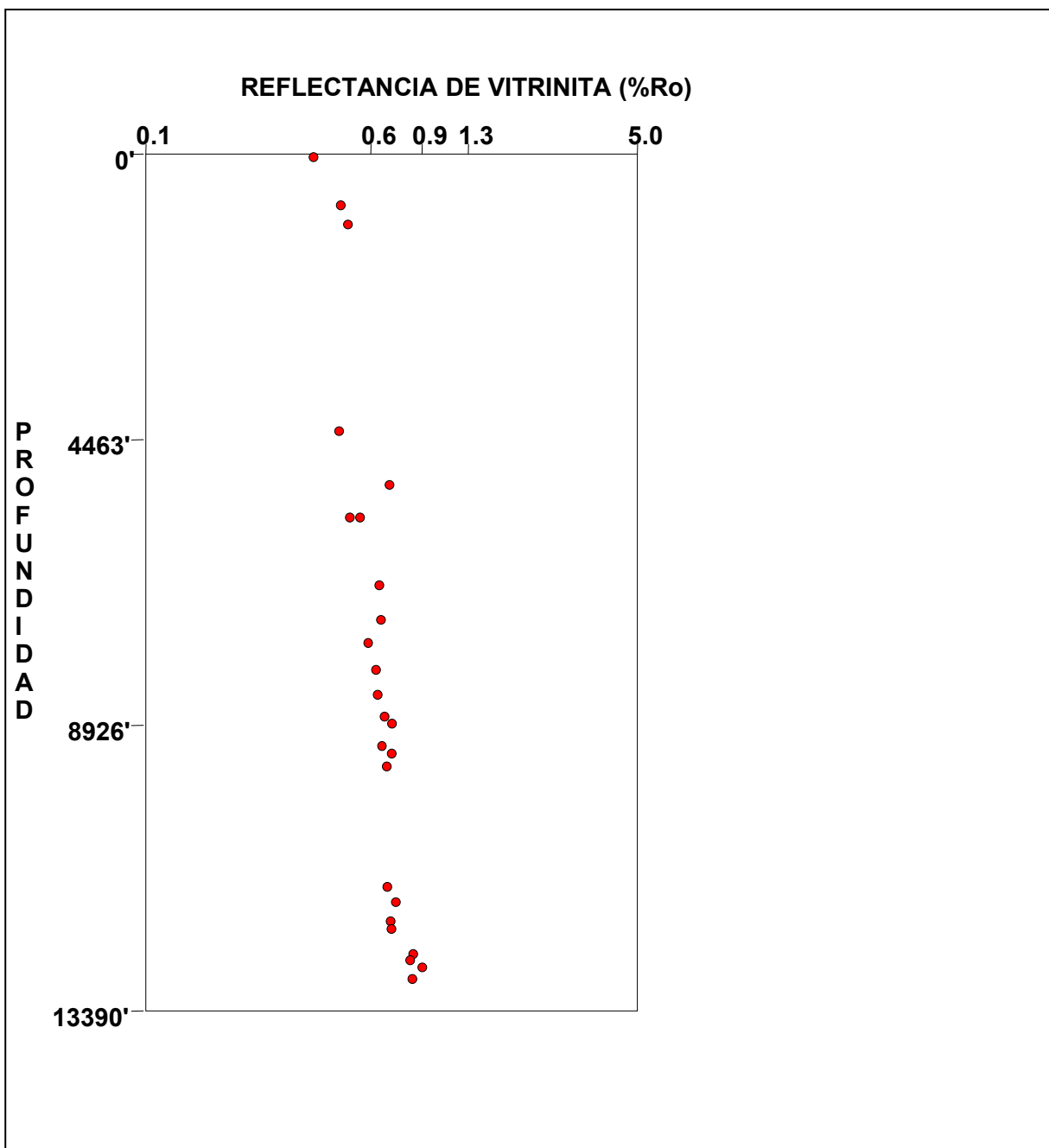
REFLECTANCIA DE VITRINITA (%Ro)



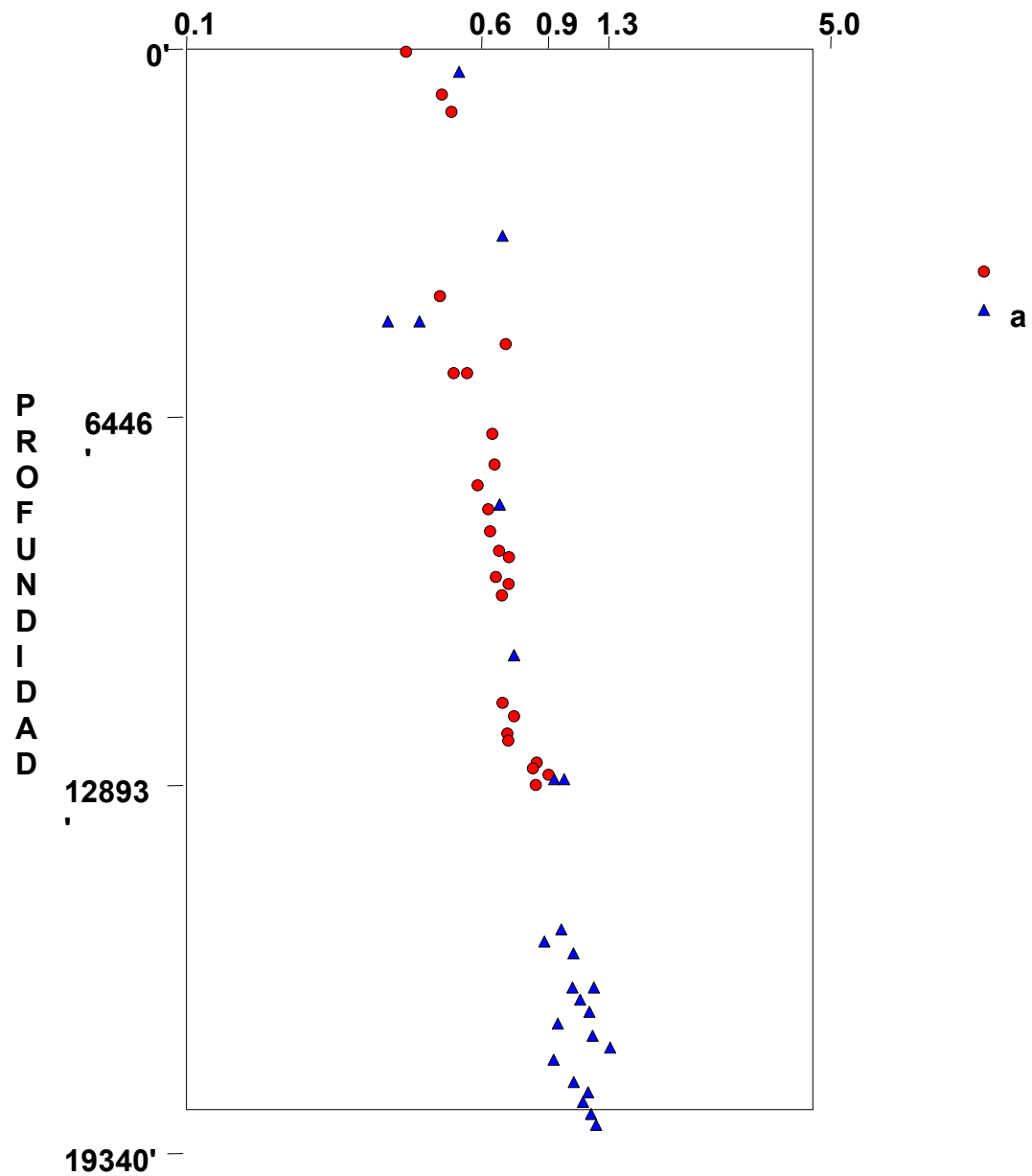
SOBREPRESION

INTRUSIONES IGNEAS





REFLECTANCIA DE VITRINITA (%Ro)



TECTONICA

